

Interaktive Computergrafik

Michael Gabler

19. Juli 2019

Inhaltsverzeichnis

1	Grundlagen	2
1.1	Menschliche Wahrnehmung von Licht	3
1.2	Rasterisierung von Vektorgrafiken	4
1.3	Vektoren	5
1.4	Homogene Koordinaten	5
2	Raytracing	7
2.1	Shading	8
2.2	Phong Reflektionsmodell	9
3	Scene Graph	11
3.1	Koordinatensysteme	11
3.2	Rendering	12
4	Rasterisierung	12

1 Grundlagen

Computergrafik beschreibt das Erstellen von 2D-Bildern aufgrund von 3D-Daten.

Anwendungsgebiete

- Human-Computer-Interaction
- CAD & (wissenschaftliche) Visualisierung
- Filme
- Computer Spiele

3D-Repräsentation Wie können Objekte als 3D-Modell abgebildet werden?

- Implizite Parameter (z.B. als Funktion)
- Oberfläche annähernd beschrieben durch Dreiecke oder Polygone (manuell, Laser Scanner, Fotos von allen Seiten)
- Volume Solids (z.B. durch Sensoren wie MRT oder CT)

Animation z.B. über Referenzpunkte, die mit echter Welt gemappt werden

Rendering Abbilden von 3D-Daten auf 2D-Repräsentation z.B. durch Raytracing oder Rasterization

Immersion Maß in wie weit eine virtuelle Darbietung äußere, reale Wahrnehmungen ausgrenzt und diese durch virtuelle ersetzt.

Präsenz/Presence In wie weit fühlt sich ein Subjekt in einer Umgebung angekommen/eingebungen auch wenn es sich in einer anderen befindet.

Digitalisierung analoger Signale

Digitization

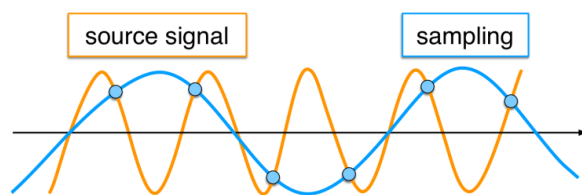


Figure: Sampling an analog wave.

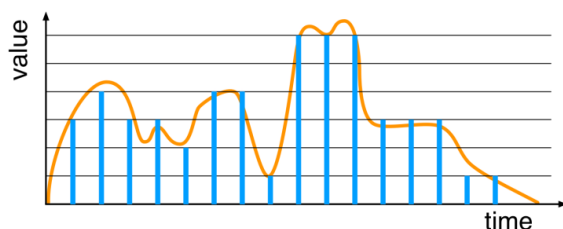


Figure: Quantization of values.

Conversion process of information into a digital (i.e., computer-readable) format, in which the information is organized into bits.

1. Discretization

- Reading (sampling) of an analog signal at regular intervals (frequency).
- Each reading (sample) may be considered to have infinite precision at this stage.

2. Quantization

- Approximating/rounding samples to a fixed set of numbers (such as integers).

Rastergrafik Grafik wird als Pixel beschrieben, die jeweils eine Farbe haben → Skalierung schwierig. Beispiel: JPG, PNG, GIF, TIFF, PBM

Vektorgrafik Inhalt der Grafik wird durch geometrische Formen beschrieben. Kann gerasert und beliebig skaliert werden. Beispiel: SVG, PS (Postscript), CGM, IGES, DWF/DXF

1.1 Menschliche Wahrnehmung von Licht

zwischen 380nm (violet/blau) und 780nm (rot)

Zapfen/Cones Farbliche Wahrnehmung (ca. 6 Millionen) je für einen Farbkanal zuständig (64 % rot, 32 % grün, 4 % blau)

Stäbchen/Rods Helligkeitswahrnehmung (ca. 120 Millionen)

Farbsysteme Repräsentation durch unterschiedliche Modelle, wie:

- biologisch orientiert: CIE XYZ
- Hardware-orientiert: RGB, CMY, CMYK (mit Schwarz, um Tinte zu sparen)
- Anwender-orientiert: HSV, HSB

Steven's Power Law physikalische Intensität (Helligkeit) ist nicht proportional zur wahrnehmbaren Helligkeit.

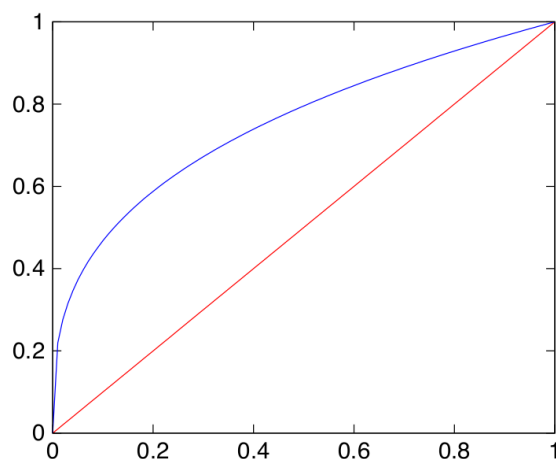


Figure: Example plot of $y = x$ (red) vs $y = x^{\frac{1}{3}}$ (blue)

Perceived Intensity by Eye

$$0.3 \leq a \leq 0.5$$

e.g.:

$$a = \frac{1}{3} \Rightarrow \psi(I) = kI^{\frac{1}{3}}$$

Observation

- Sensitivity is intensity-dependent
- **High** in dark areas
- **Lower** in bright areas

Question

- What consequences does this have on the digital representation of values?

Gamma Korrektur korrigiert physikalische Intensität, um kontinuierlichen wahrnehmbaren Intensitätszuwachs zu bekommen.

Before



After



Pros

- Finer intensity resolution in dark areas.
- Reduced perceived discontinuities.

Cons

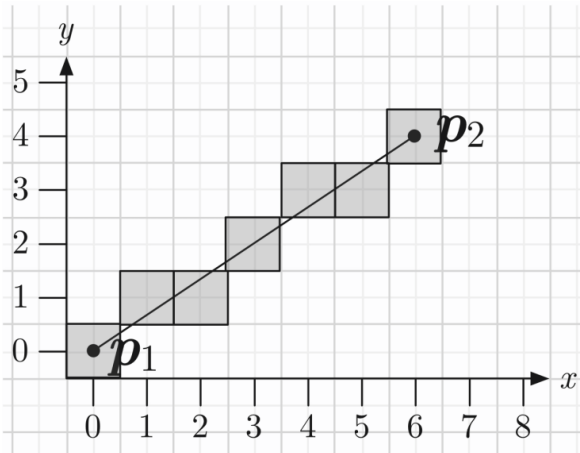
- Image appears overall to bright.
- Specifically relevant in dark areas.

$$n = \lfloor I^{\frac{1}{\gamma}} 2^N \rfloor$$

mit $I \in [0, 1]$, $n \in [0, 2^N]$: Abbildung der physikalischen Intensität auf wahrnehmungskorrigierte mit N Bit Genauigkeit.

1.2 Rasterisierung von Vektorgrafiken

Digital Differential Analyzer (DDA) Rastern von Linien zwischen zwei beliebigen Punkten p_1 und p_2 . Linie kann als Funktion $y = mx + b$ repräsentiert werden.



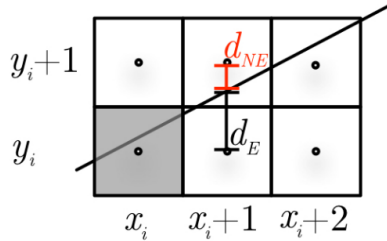
Follows

```
p1x = round(p1x); p1y = round(p1y);
p2x = round(p2x); p2y = round(p2y);
double m = (p2y-p1y)/(p2x-p1x);

pixelSet(p1x, p1y);
pixelSet(p2x, p2y);

for (int x = p1x+1; x < p2x; x++)
{
    pixelSet(x, round(m * x + b));
}
```

Bresenham's Algorithmus Verfeinerung von DDA



Assume

- Pixel (x_i, y_i) is set.

Follows choice for next pixel as

- $(x_i + 1, y_i)$ or $(x_i + 1, y_i + 1)$.

Observation

$$y_{i+1} = \begin{cases} y_i & \text{if } d_E < d_{NE} \\ y_i + 1 & \text{otherwise.} \end{cases}$$

Given coords (x', y') follows

- $d_E = y' - y_i$
- $d_{NE} = y_i + 1 - y'$
- $\Rightarrow \epsilon = d_E - d_{NE} = 2y' - 2y_i - 1$

Sign of decision variable ϵ determines pixel:

$$y_{i+1} = \begin{cases} y_i & \text{if } \epsilon \leq 0 \\ y_i + 1 & \text{otherwise.} \end{cases}$$

Aliasing Da Pixel entweder an oder aus sind (haben Farbe oder nicht), bildet sich eine Treppe beim Rastern von Linien. Kann beim Samplen auftreten

→ **Nyquist-Shannon Sampling Theorem** Sample Frequenz \geq Doppelte Signal Frequenz

⇒ **Antialiasing** hat keine harten Übergänge sondern bildet "Farbverläufäm Kantenrand (Pixel sind an, aus oder abgeschwächt farbig) durch Supersampling (mehr Punkte als Raster berechnen) und Durchschnittsbildung

Supersampling feinere Auflösung als Zielbild wählen und regelmäßig sampeln (beste Ergebnisse), zufällige Punkte wählen im gesamten Bild, zufällige Punkte in definierten Räumen

1.3 Vektoren

Skalarprodukt/Dot-Produkt $u \cdot v = (u_0, u_1, u_2)^T \cdot (v_0, v_1, v_2)^T = u_0v_0 + u_1v_1 + u_2v_2$

Vektorlänge $\|v\| = \sqrt{v \cdot v}$

Kreuzprodukt $w = u \times v = \begin{bmatrix} u_1v_2 - u_2v_1 \\ u_2v_0 - u_0v_2 \\ u_0v_1 - u_1v_0 \end{bmatrix}$

w ist orthogonal zu u und v . Sie bilden ein rechthand-(Koordinaten)-System

1.4 Homogene Koordinaten

Repräsentieren von Vektoren als homogen, um Transformationen durchführen zu können. (wie in Robotik 1). Vierte Komponente ist 0 für Vektoren, 1 für Punkte.

Point-point difference

$$\begin{pmatrix} r_1 \\ r_2 \\ r_3 \\ 1 \end{pmatrix} - \begin{pmatrix} s_1 \\ s_2 \\ s_3 \\ 1 \end{pmatrix} = \begin{pmatrix} r_1 - s_1 \\ r_2 - s_2 \\ r_3 - s_3 \\ \mathbf{0} \end{pmatrix}$$

Vector-vector sum

$$\begin{pmatrix} r_1 \\ r_2 \\ r_3 \\ 0 \end{pmatrix} + \begin{pmatrix} s_1 \\ s_2 \\ s_3 \\ 0 \end{pmatrix} = \begin{pmatrix} r_1 + s_1 \\ r_2 + s_2 \\ r_3 + s_3 \\ \mathbf{0} \end{pmatrix}$$

Point-vector sum

$$\begin{pmatrix} r_1 \\ r_2 \\ r_3 \\ 1 \end{pmatrix} + \begin{pmatrix} s_1 \\ s_2 \\ s_3 \\ 0 \end{pmatrix} = \begin{pmatrix} r_1 + s_1 \\ r_2 + s_2 \\ r_3 + s_3 \\ \mathbf{1} \end{pmatrix}$$

Scalar-vector product

$$r_1 \begin{pmatrix} s_1 \\ s_2 \\ s_3 \\ 0 \end{pmatrix} = \begin{pmatrix} r_1 s_1 \\ r_1 s_2 \\ r_1 s_3 \\ \mathbf{0} \end{pmatrix}$$

Fundamental rotation matrices $R_n(\phi)$ describes the rotation around the n axes with the angle ϕ .

$$R_1(\phi) = \begin{bmatrix} 1 & 0 & 0 \\ 0 & \cos \phi & -\sin \phi \\ 0 & \sin \phi & \cos \phi \end{bmatrix} \quad (1)$$

$$R_2(\phi) = \begin{bmatrix} \cos \phi & 0 & \sin \phi \\ 0 & 1 & 0 \\ -\sin \phi & 0 & \cos \phi \end{bmatrix} \quad (2)$$

$$R_3(\phi) = \begin{bmatrix} \cos \phi & -\sin \phi & 0 \\ \sin \phi & \cos \phi & 0 \\ 0 & 0 & 1 \end{bmatrix} \quad (3)$$

Homogenous transformation Describe coordinates as homogenous coordinates to describe rotations and translations

vector q as homogenous coordinates is $[q_1 q_2 q_3 1]^T$

Homogenous transformation matrix

$$T = \begin{bmatrix} R & p \\ \eta^T & \sigma \end{bmatrix} \quad (4)$$

with

$R \in \mathbb{R}^{3 \times 3}$ is a rotation matrix

$p \in \mathbb{R}^{3 \times 1}$ is a translation vector

$\sigma \in \mathbb{R}$ is a scaling factor (usually 1)

$\eta^T \in \mathbb{R}^{1 \times 3}$ is a perspective vector, here zero vector

$$Rot(\phi, k) = \begin{bmatrix} & & 0 \\ & R_k(\phi) & \\ & & 0 \\ 0 & 0 & 0 & 1 \end{bmatrix}, Tran(p) = \begin{bmatrix} 1 & 0 & 0 & p_1 \\ 0 & 1 & 0 & p_2 \\ 0 & 0 & 1 & p_3 \\ 0 & 0 & 0 & 1 \end{bmatrix} \quad (5)$$

Reflection Use identity matrix with -1 for the reflection axis. Reflection at a point is reflection at the intersection of three orthogonal planes (-1 for every axis).

Transformation for arbitrary points Translate everything so that the transformation point is located at the origin. Do the Transformation. Translate everything back.

Inverse homogenous transformation If the transformation matrix T maps coordinates from coordinate frame A to B , the inverse T^{-1} maps coordinates from B to A .

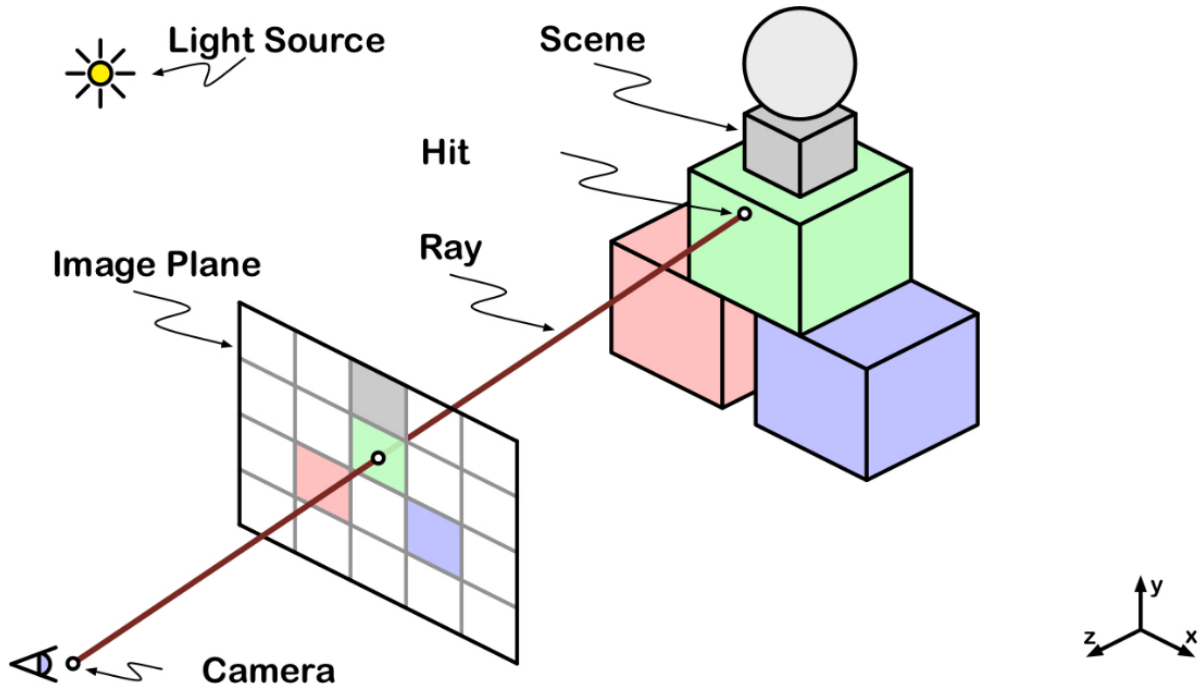
$$T^{-1} = \begin{bmatrix} & R^T & -R^T p \\ 0 & 0 & 0 & 1 \end{bmatrix} \quad (6)$$

with $\eta = 0$ and $\sigma = 1$

2 Raytracing

Rendern von 3D-Objekten als 2D-Repräsentation. Orientiert an Physik, dadurch sehr realistische Darstellungen möglich. Strahlen werden von Kamera in die Szene gesendet. Schneiden diese ein 3D-Objekt, wird der Strahl von dort zu einer Lichtquelle verfolgt und der aussendende Pixel entsprechend gefärbt.

```
raytrace(scene, camera, image):
    # For all pixels in image
    for (x, y) in image:
        # 1. Generate ray through pixel
        ray = camera.generateRay(x, y)
        # 2. Find closest intersection with scene
        hit = scene.intersect(ray)
        # 3. Calculate light intensity
        color = shade(hit, scene)
        # 4. Set pixel color
        image.set(x, y, color)
```



Photon Lichtstrahl mit bestimmter Energie bzw. Farbe

$$E = h \cdot f$$

mit E : Energie, h : Plancksche Konstante, f : Frequenz

$$1 \text{ Lumen} = 4 \cdot 10^{15} \text{ Photonen/sec}$$

Absorption Photon verschwindet, wird von Gegenstand geschluckt

Reflektion Photon prallt an Oberfläche ab

Refraktion Photon geht durch eine Oberfläche hindurch (z.B. Glas)

Ray/Strahl Dargestellt als Startpunkt mit Richtungsvektor: $x(t) = x_0 + t\vec{d}$

Interaktion Mögliche Modelle zur realistischen Farbermittlung:

- Quantum Theorie (Emission, Absorption)
- Spezielle Relativität (aberration, blueshift, redshift, time dilatation)
- Wellenoptik (diffraction, dispersion, Interferenz)
- Geometrische Optik (Reflektion, Refraktion)

2.1 Shading

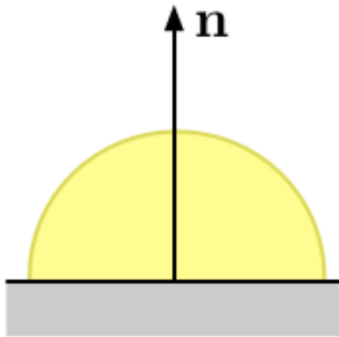
Verwende Objektfarbe bei Rayintersection. Naiver Ansatz, da physikalische Gesetze wie Reflektion oder Schatten und Objektstruktur ignoriert werden. Gleichmäßig gefärbte Objekte.

2.2 Phong Reflektionsmodell

Modell zur Farbberechnung. Basiert auf geometrischer Optik. Setzt sich zusammen aus der Farbe (Ambient) + Oberflächenbeschaffenheit und Schatten (Diffuse) + Reflektion (Specular). Verwendet folgende Vereinfachungen:

- Oberfläche: Isotropic, betrachtet nicht die Wellenlänge und Polarisierung
- Raum: nimmt Vacuum an, keine atmosphärischen Effekte
- Licht: Lichtquellen als einzelne Punkte

Ambient



Note

- No explicit light sources
- Indirect, constant illumination for the entire scene

Ambient reflection term

$$L_r = k_a L^a$$

With

L_r : Reflected (ambient) energy

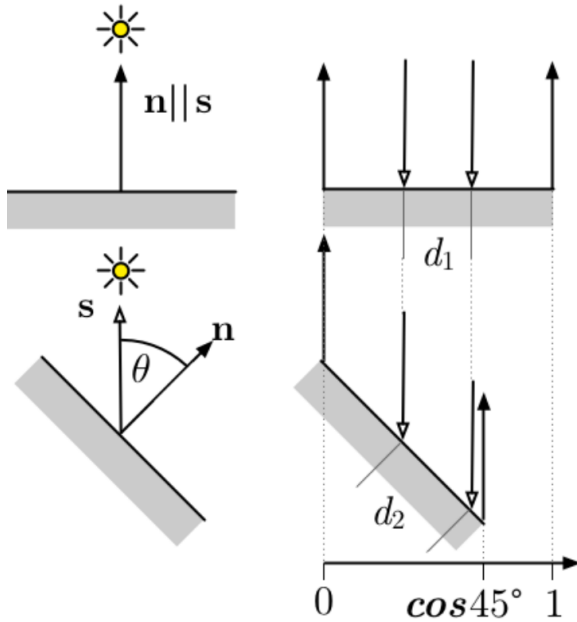
k_a : Material's ambient reflectivity coefficient

L^a : (fictitious) ambient light energy

Rational

- Model for 'background lighting'
- Simulates a global contribution

Diffuse Betrachtet reflektiertes Licht von Oberflächen (unterschiedlich je nach Oberfläche matt/glänzend)



Theorem

The radiant intensity observed from a Lambertian surface is directly proportional to the cosine between the the direction of the incident light and the surface normal.
(J. H. Lambert, 1760).

Calculate Lighting Term

$$I_d = I_s k_d \max \left(\frac{s \cdot n}{|s| |n|}, 0 \right)$$

$$L_d(p) = k_d \sum_j L_j \max(0, n \cdot s_j)$$

mit L_d : Reflektiertes Licht (Diffuse-Anteil)

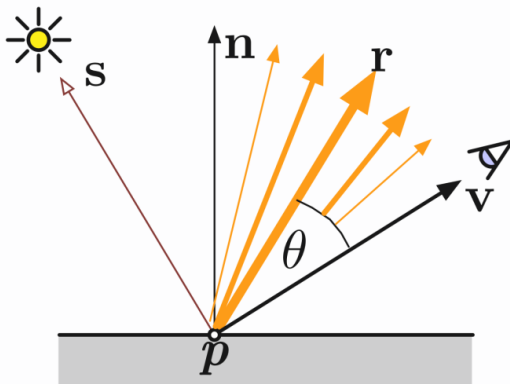
k_d : Material-Koeffizient für Diffuse Reflexion

L_j : Licht (Farbe) der Lichtquelle j

n : Normale vom Punkt p zur Oberfläche

s_j : Vektor von p zur Lichtquelle j

Specular Betrachtet starke Reflektionen für glänzende Oberflächen (weiße/helle Punkte)



- Reflection of glossy surfaces.
- Emitted radiance is proportional to angle θ between r and v .
- Proportionality is $\cos(\theta)$ or $r \cdot v$.

Specular reflection term

$$L_s(p, v) = \int_w k_s L_j n \cdot w_j dw_j$$

$$\approx k_s \sum_j L_j \max(0, r_j \cdot v)^{k_e}$$

$L_j = L_i(p, w_j)$: Energy of isotropic point light sources j with constant radiance

$L_s(p, v)$: Reflected (specular) energy.

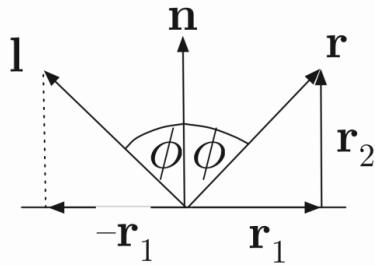
k_s : Material's specular reflectivity coefficient.

k_e : Material's specular shininess.

Note

- k_e models sharpness of highlights.

Reflektionsberechnung Berechnung des Reflektionsvektors



Note

Calculation of reflectance vector often necessary for lighting models etc.

Example

- Phong model's specular term.

Question

How to calculate the reflectance vector given light direction and normal?

Derivation

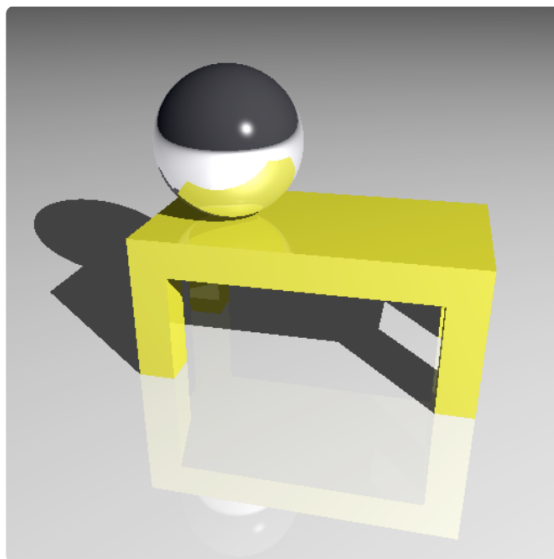
1. $r = r_1 + r_2$
2. $r_1 = -l + r_2$
3. $\Rightarrow r = 2r_2 - l$
4. $r_2 = (n \cdot l)n$

Solution Reflection Vector

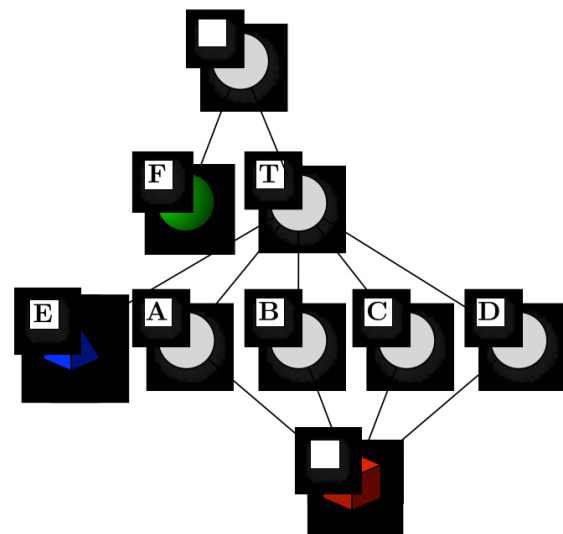
5. $\Rightarrow r = 2(n \cdot l)n - l$

3 Scene Graph

Ein Szenengraph repräsentiert alle Objekte einer Szene als Graph. Dabei werden Positionen immer relativ zum Elternelement angegeben. Wird eine globale Position relativ zum Weltkoordinatensystem benötigt, müssen alle Transformationen entlang des Graphs vom Ursprung zum Objekt angewendet werden.



Ball on top of the table



Scene graph of the still

3.1 Koordinatensysteme

Man unterscheidet mehrere Koordinatensysteme

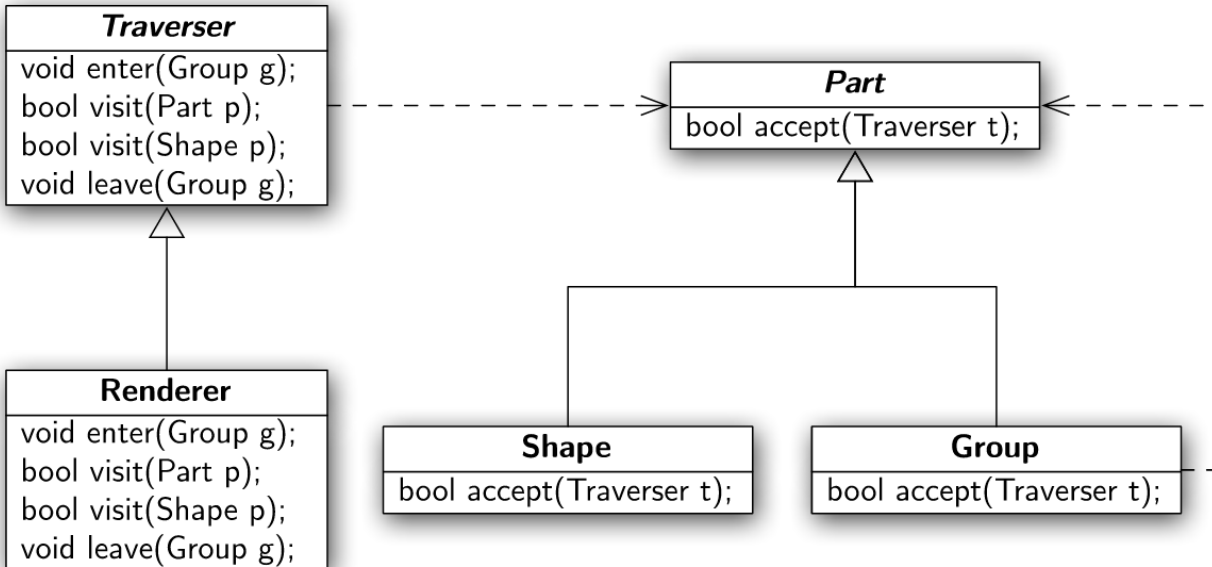
Weltkoordinatensystem W Globales Referenzsystem für alle Objekte

Objektsystem O Relatives System für jedes Objekt. Ursprung im Objektsprung. Verwendet z.B. um Punkte eines Objekts relativ zum Ursprung anzugeben.

Kamerasystem C System relativ zur Kameraposition

3.2 Rendering

Zum Rendern des Scene-Graphs wird das Visitor-Pattern verwendet.



4 Rasterisierung